大黄素对高脂饲料诱导 ApoE^{-/-} 小鼠动脉粥样硬化的影响

田维毅1*, 王和生1*, 李妹娟1, 张磊1, 赖陈岑2 夏丽1. (1. 贵州中医药大学,贵州 贵阳 550000; 2. 贵州中医药大学第一附属医院,贵州 贵阳 550000)

摘要:目的 观察大黄素对高脂饲料诱导的 ApoE-'-小鼠动脉粥样硬化中 MCP-1 及 IFN-γ 的影响。方法 60 只雄性 ApoE^{-/-}小鼠分为模型组,大黄素高、中、低剂量组和阳性对照组,给予高脂饲料,并隔1d腹部皮下注射脂多糖,正 常对照组为 C57BL/6 J 小鼠、给予普通饲料和注射生理盐水。第 10 周起、基于高脂饮食、大黄素高、中、低剂量组 分别灌胃 40、20、10 mg/kg 大黄素,阳性对照组灌胃 200 mg/kg 血脂康,正常对照组给予普通饲料和灌胃生理盐水, 持续给药6周后,取血清及心肌组织。用全自动酶标仪检测 TC、TG、LDL-C、HDL-C 水平,RT-αPCR 检测心肌组织 MCP-1、IFN-γ mRNA 表达, ELISA 检测 MCP-1、IFN-γ 水平。结果 与正常对照组比较,模型组血清 TC、TG、 LDL-C、MCP-1 水平升高 (P<0.05), HDL-C、IFN-γ 水平降低 (P<0.05), 心肌组织 MCP-1 mRNA 表达升高 (P< 0.05), IFN-γ mRNA 表达降低 (P<0.05); 与模型组比较, 大黄各剂量组和阳性对照组血清 TC、TG、LDL-C、MCP-1 水平均降低 (P<0.01), HDL-C、IFN-γ 水平均升高 (P<0.01), 心肌组织 MCP-1 mRNA 表达降低 (P<0.01), IFN-γ mRNA 表达升高 (P<0.05, P<0.01)。**结论** 大黄素对 $ApoE^{-}$ 小鼠动脉粥样硬化模型的病变有显著影响,其可能是 通过调控 MCP-1、IFN-γ 的表达抑制炎症反应,调节脂类代谢,从而发挥抗动脉粥样硬化的作用。

关键词:大黄素;动脉粥样硬化;炎症

中图分类号: R285.5 文献标志码:B 文章编号: 1001-1528(2021)12-3464-04

doi:10.3969/j.issn.1001-1528.2021.12.039

近年来,心血管疾病的发生及死亡呈日益年轻化、增 长化趋势, 作为其重要病理基础, 动脉粥样硬化的预防与 治疗已成为重点研究对象。作为一种慢性炎症疾病, 从血 管内脂质条纹产生到纤维斑块,再进展为动脉粥样斑块, 到斑块不稳定和破裂,炎症反应贯穿于动脉粥样硬化发生 发展的全过程[1],始终都能检测到各种炎症细胞和炎症介 质,例如巨噬细胞和白细胞介素等炎症因子。经研究发现, 制首乌中的大黄素具有抗心肌缺血、抗动脉粥样硬化、降 低血脂的作用[2]。本研究旨在研究大黄素对单核细胞趋化 蛋白-1 (monocyte chemoattractant protein-1, MCP-1)、干扰 素γ(interferon gamma, IFN-γ)的影响,为今后防治动脉 粥样硬化提供理论依据。

1 材料

1.1 动物与饲料 雄性 SPF 级 C57BL/6 J 小鼠 12 只. ApoE^{-/-}小鼠 60 只, 6 周龄, 体质量 (20±2) g, 购自贵州 医科大学,实验动物生产许可证号 SCXK (黔) 2012-0001, 实验操作符合伦理委员会要求。高脂饮食按照 21% 精炼猪 油、0.15% 胆固醇、78.85% 基础饲料比例制作[3]。

1.2 药物、试剂与仪器 大黄素 (黄色粉末,纯度 98.7%, 货号 BH20150716, 西安飞达生物技术有限公司); 血脂康(批号 Z10950029, 北京北大维信生物科技有限公 司)。小鼠 MCP-1 ELISA 试剂盒 (货号 EMC113)、小鼠 IFN-γ ELISA 试剂盒 (货号 EMC101) 均购自欣博盛生物科 技有限公司; 脂多糖 (货号 L2880, 美国 Sigma 公司)。实 时荧光定量 PCR 仪(型号 CFX96)、微电脑 PCR 仪(型号 C1000) 均购自美国 Bio-Rad 公司。

2 方法

- 2.1 动物模型建立及给药 将 60 只成年雄性 ApoE^{-/-}小鼠 普通饲料喂养1周,随机分为模型组,大黄素高、中、低 剂量组,阳性对照组,每组12只。正常对照组为ApoE^{-/-} 小鼠的背景鼠 C57BL/6 J 成年小鼠、健康雄性、共 12 只, 以基础饲料常规饲养,灌胃生理盐水;给药组小鼠基于高 脂饮食,大黄素高、中、低剂量组分别灌胃40、20、 10 mg/kg药物,阳性对照组灌胃 200 mg/kg 血脂康,连续 6周。
- 2.2 血液、心肌组织采集 给药 6 周后隔 1 d, 小鼠禁食 12 h, 眼球取血, 3 000 r/min 离心 15 min, 分离血清用于 生化及 ELISA 检测,取小鼠心脏并纵向剪开,得到的心肌 组织放入 RNA 保存液用于提取 RNA。
- 2.3 生化指标检测 通过全自动酶标仪检测总胆固醇

收稿日期: 2020-01-05

基金项目: 国家自然科学基金资助项目 (81760790, 81460670)

作者简介: 夏 丽 (1994—), 女,硕士,从事中医药调节高脂血症及抗动脉粥样硬化作用机制研究。E-mail: xiali945@163.com

*通信作者:田维毅(1972—),男,博士,教授,博士生导师,从事中医药防治动脉粥样硬化研究。E-mail:tianweiyi@ gzy.edu.cn 王和生 (1955—), 女, 教授, 硕士生导师, 从事中医药调节高脂血症及抗动脉粥样硬化作用机制研究。E-mail: 1452665049@ qq.com

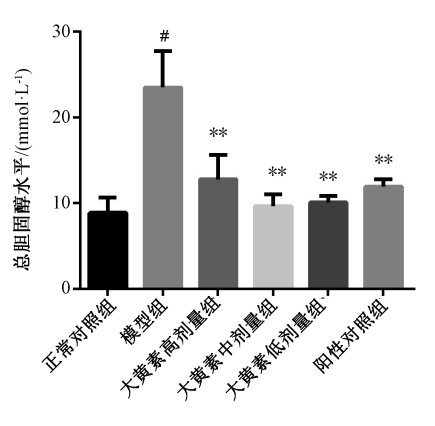
Vol. 43 No. 12

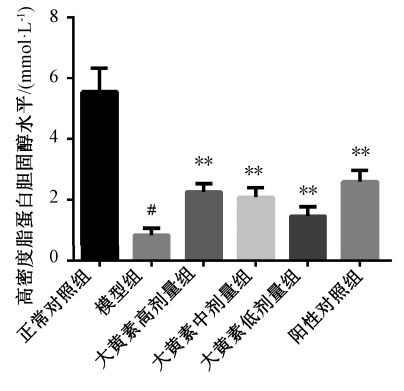
(total cholesterol, TC)、甘油三酯 (triglyceride, TG)、高密度脂蛋白胆固醇 (high density lipoprotein cholesterol, HDL-C) 低密度脂蛋白胆固醇 (low density lipoprotein cholesterol, LDL-C) 水平。

2.4 RT-qPCR 检测小鼠心肌组织 *MCP*-1、*IFN*- γ mRNA 表达 按说明书提取心肌组织 RNA,根据试剂盒说明书,冰上配制各组反应液,进行 RT-qPCR 分析,反应条件为预变性 50 ℃,120 s;95 ℃,600 s;热循环,95 ℃,15 s;退火 60 ℃,60 s,40 次循环。采用 $2^{-\Delta \triangle CT}$ 法计算 mRNA 表达量,引物序列见表 1。

表1 引物序列

基因	引物序列 (5′→3′)	扩增长度/bp
IFN-γ	正向 CCACGGCACAGTCATTGAAAG	200
	反向 TGCTGATGGCCTGATTGTCTT	
MCP-1	正向 ACCTGCTGCTACTCATTCACC	149
	反向 CATTCCTTCTTGGGGTCAGCA	
β -actin	正向 GTGCTATGTTGCTCTAGACTTCG	147
	反向 ATCCCACACGATTCCATACC	



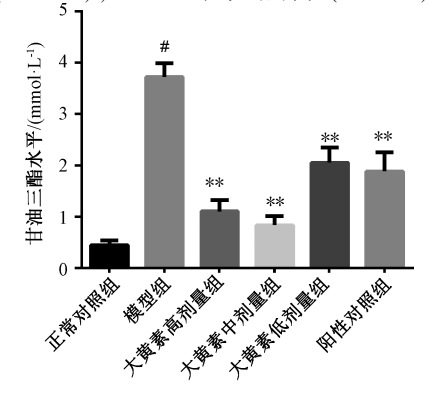


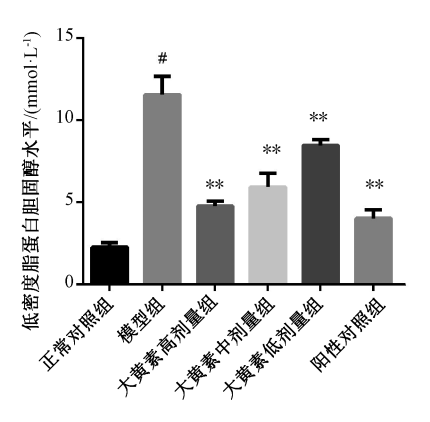
2.5 ELISA 法检测血清 IFN- γ 、MCP-1 水平 于对照品孔内滴加梯度浓度对照品,样品孔内滴加待测样品,37 $^{\circ}$ 化水浴锅孵育 90 min,洗板 5 次,甩净,于空白孔中滴加抗体稀释液,其余孔中滴加抗体工作液,37 $^{\circ}$ 化水浴锅孵育60 min,洗板 5 次,甩净,空白孔加酶结合物稀释液,其余孔加酶结合物工作液,37 $^{\circ}$ 化水浴锅孵育30 min,洗板5 次,每孔滴加显色底物液,封板胶覆盖反应孔,37 $^{\circ}$ 化浓锅孵育15 min,每孔滴加终止液后,置于酶标仪内,检测吸光度。

2.6 统计学分析 通过 SPSS 16.0 软件进行处理,数据以 $(\bar{x}\pm s)$ 表示,多组间比较采用单因素方差分析。P<0.05 为差异有统计学意义。

3 结果

3.1 各组小鼠血清中 TC、TG、HDL-C、LDL-C 水平变化 与 正常对照组比较,模型组血清 TC、TG、LDL-C 水平升高 (*P*<0.05), HDL-C 水平降低 (*P*<0.05); 与模型组比较, 大黄素各剂量组和阳性对照组 TC、TG、LDL-C 水平均降低 (*P*<0.01), HDL-C 水平均升高 (*P*<0.01), 见图 1。





注:与正常对照组比较, **P<0.05;与模型组比较, **P<0.01。

图 1 各组小鼠血清中 TC、TG、HDL-C、LDL-C 水平

3.2 各组小鼠心肌组织 MCP-1、 $IFN-\gamma$ 的 mRNA 表达 与 正常对照组比较,模型组 MCP-1 mRNA 表达升高(P<0.05), $IFN-\gamma$ mRNA 表达降低(P<0.05);与模型组比较, 大黄素各剂量组和阳性对照组 MCP-1 mRNA 表达降低(P<0.01), $IFN-\gamma$ mRNA 表达升高(P<0.05,P<0.01),见 图 2。

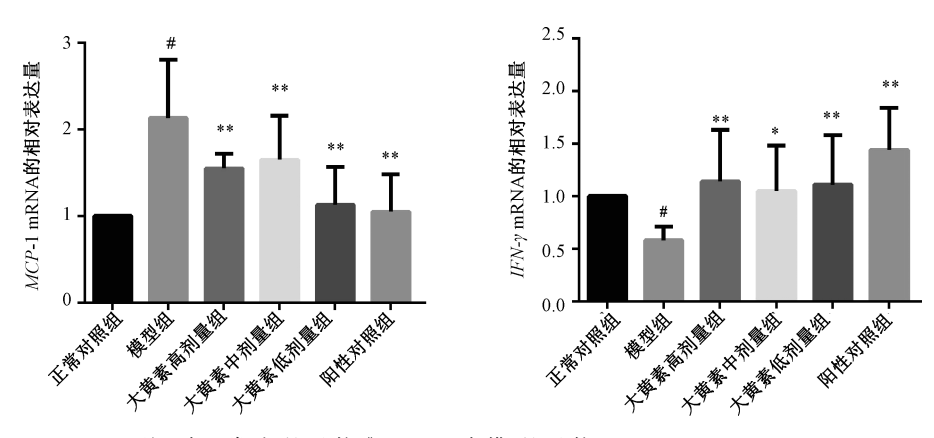
3.3 各组小鼠血清 MCP-1、IFN-γ 水平 与正常对照组比

较,模型组 MCP-1 水平升高 (P<0.05), IFN- γ 水平减低 (P<0.05); 与模型组比较,大黄素低、中剂量组和阳性对 照组血清 MCP-1 水平降低 (P<0.01), IFN- γ 水平升高 (P<0.01),大黄素高剂量组血清 MCP-1、IFN- γ 水平均降低 (P<0.01),见图 3。

4 讨论

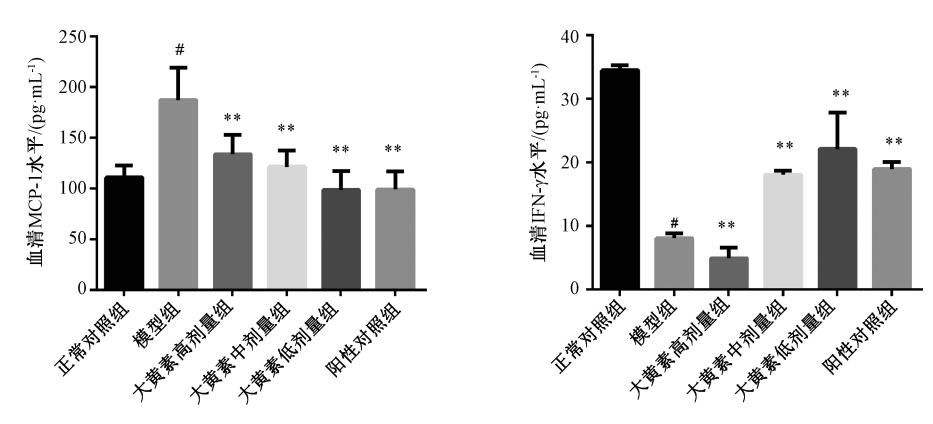
动脉粥样硬化作为心脑血管疾病的病理基础, 主要涉





注:与正常对照组比较, *P<0.05;与模型组比较, *P<0.05, **P<0.01。

图 2 各组小鼠心肌组织 MCP-1、IFN-γ mRNA 表达



注:与正常对照组比较, #P<0.05;与模型组比较, ** P<0.01。

图 3 各组小鼠血清 MCP-1、IFN-γ水平

及脂类代谢、炎症与氧化应激等。上世纪90年代动脉粥样 硬化的炎症理论提出后[4],逐渐被世界广泛接受。血脂与 动脉粥样硬化之间关系已是众所周知, 现在大多数认可, TC、TG、LDL-C 的发展诱导动脉粥样硬化, 尤其 ox-LDL 刺 激泡沫细胞生成从而释放出更多的炎症介质加重,而 HDL-C则是帮助减少其发生发展^[5]。MCP-1 是巨噬细胞分 泌的促炎症因子, 是加速形成动脉粥样硬化的重要因素之 一。临床研究发现,患有动脉粥样硬化内膜斑块的患者, 体内血清 MCP-1 的水平高于正常组^[6]。既往研究表明, MCP-1 不仅可以趋使单核细胞聚集, 加速泡沫细胞形成, 还可以对白介素、肿瘤坏死因子等其余促炎症因子产生影 响,促进血管内皮细胞的增殖,加速动脉粥样硬化斑块形 成^[7-8]。IFN-γ曾用名叫巨噬细胞活化因子,为水溶性二聚 体,是Ⅱ型干扰素。研究发现,ApoE^{-/-}小鼠建模成功后主 动脉壁斑块免疫组化中可见 IFN-γ 呈现阳性,表达高于正 常组^[9]。IFN-γ是双向调节因子,在动脉粥样硬化发生发 展过程中扮演重要角色。另有学者报道通过调控 IFN-γ 可 以改善动脉粥样硬化的病变程度[10],在巨噬细胞中抑制极 低密度脂蛋白受体表达,抑制泡沫细胞形成[11]。

大黄素作为制首乌游离蒽醌主要成分,具有抗炎、抗氧化、降低血脂等作用。本课题组前期研究发现,制首乌游离蒽醌抗动脉粥样硬化作用可能通过上调 ABCA1,调控

血脂,影响血清 NO 水平,降低 NF-κB、IL-1β 表达抑制炎 症反应[12-14]。本研究结果显示,模型组 TC、TG、LDL-C 水 平较正常对照组升高,提示动脉粥样硬化模型复制成功; 与模型组比较,大黄素各剂量组和阳性对照组 TC、TG、 LDL-C 均有不同程度的下降,提示大黄素可以加速 TC、 TG、LDL-C的分解,促进血清中 HDL-C的合成,起到有良 好的调脂作用。从基因表达上看,本研究模型组中 MCP-1 mRNA 表达升高, IFN-γ mRNA 表达降低, 这与文献报道一 致,进一步说明 MCP-1 伴随着动脉粥样硬化的发展。通过 大黄素干预后, MCP-1 mRNA 表达降低, IFN-γ mRNA 表达 升高、提示大黄素可以降低 MCP-1、升高 IFN-y mRNA 表 达,抑制炎症反应。ELISA 检测 MCP-1 水平变化趋势与基 因表达基本一致。大黄素中、低剂量干预后 IFN-γ 水平升 高,而高剂量组表现不同,考虑是大黄素高剂量组在转录 过程中能升高 IFN-γ 的表达, 但其翻译修饰等各种因素出 现蛋白变化, 具体表现差异有待进一步研究。

综上所述,本研究以 ApoE⁻⁻⁻小鼠为对象,炎症与动脉 粥样硬化的关系为切人点,观察大黄素对炎症因子 MCP-1、 IFN-γ 的影响。结果表明,大黄素可以通过调控 MCP-1、 IFN-γ 抑制动脉粥样硬化的炎症反应,具有抗炎及抗动脉粥 样硬化的作用,为临床防治动脉粥样硬化及药物的开发提 供了新思路。

参考文献:

- [1] 谭宇卫,郑玉姣,王雅君,等. 血脂异常及动脉粥样硬化中医研究进展[J]. 现代生物医学进展,2013,13(16):3197-3200.
- [2] 刘 静, 王 丽. 大黄素的研究进展[J]. 中国药房, 2014, 25(35); 3351-3354.
- [3] 王通渤. 基于 JAK2/STAT3 通路研究制首乌有效成分大黄素抗动脉粥样硬化的作用机制[D]. 贵阳: 贵阳中医学院, 2017.
- [4] Ross R. Atherosclerosis—an inflammatory disease [J]. N Engl J Med, 1999, 340(2): 115-126.
- [5] Steinberg D, Glass C K, Witztum J L. Evidence mandating earlier and more aggressive treatment of hypercholesterolemia [J]. Circulation, 2008, 118(6): 672-677.
- [6] 梁洁玲,王洋洋,司艳辉,等. MCP-1 水平与颈动脉粥样 硬化程度的相关性研究[J]. 黑龙江医学,2015,39(5):475-476
- [7] Shao L, Zhang P, Zhang Y, et al. TLR3 and TLR4 as potential clinically biomarkers of cardiovascular risk in coronary artery disease (CAD) patients [J]. Heart Vessels, 2014, 29 (5): 690-698.
- [8] Clahsen T, Schaper F. Interleukin-6 acts in the fashion of a classicalchemokine on monocytic cells by inducing integrin

- activation, cell adhesion, actin polymerization, chemotaxis, and transmigration [J]. *J Leukoc Biol*, 2008, 84 (6): 1521-1529.
- [9] 熊晓亮. 动脉粥样硬化的口服免疫耐受及细胞因子检测 [D]. 长春: 吉林大学, 2011.
- [10] 朱晓刚,王丽岳,王丽江,等. 缬沙坦改善小鼠动脉粥样 硬化的作用机制研究[J]. 基因组学与应用生物学,2018,37(5):2312-2319.
- [11] Kosaka S, Takahashi S, Masamura K, et al. Evidence of macrophage foam cell formation by very low-density lipoprotein receptor: interferon-γ inhibition of very low-density lipoprotein receptor expression and foam cell formation in macrophages [J]. Circulation, 2001, 103(8): 1142-1147.
- [12] 赖陈岑,王和生,赵建雄,等.制首乌提取物对兔动脉粥样硬化模型中 ABCA1 表达的影响[J].中药药理与临床,2015,31(6):87-89.
- [13] 冷传龙,王和生,王永萍,等.制首乌总游离蒽醌对ApoE^{-/-}小鼠动脉粥样硬化模型肝脏、脂肪组织重量及血脂、血清 NO 的影响[J].时珍国医国药,2017,28(8):1806-1807.
- [14] 夏 丽, 王和生, 冷传龙, 等. 制首乌中大黄素对泡沫细胞 NF-κB、TNF-α及 IL-1β 表达的影响[J]. 时珍国医国药, 2019, 30(3): 532-533.

补肾疏肝方对老年抑郁症大鼠血清炎症因子和海马神经递质的影响

揭会 \mathbb{S}^1 , 李 \mathbb{L}^1 , 杨振博 1 , 姚建 \mathbb{P}^{1*} , 封银 \mathbb{S}^2

(1. 河南中医药大学基础医学院,河南 郑州 450046; 2. 郑州卫生健康职业学院,河南 荥阳 450100)

收稿日期: 2020-06-01

基金项目: 国家自然科学基金项目 (81273656); 河南省高等学校重点科研项目 (18A360003)

作者简介: 揭会贤 (1993—), 男, 硕士, 从事方剂配伍及中医药延缓衰老研究。Tel: 13949111679; E-mail: 1194279823@qq.com *通信作者: 姚建平 (1974—), 男, 博士, 教授, 从事方剂配伍及中医药延缓衰老研究。Tel: 15936298812; E-mail: yjp740719@ 163.com

网络出版日期: 2020-12-25

网络出版地址: https://kns.cnki.net/kcms/detail/31.1368.R.20201225.1502.004.html